소재열역학 hw 3

20220496 박세준

1. The vapor pressure of solid NaF varies with temperature as

$$\ln P(atm) = \frac{-34450}{T} - 2.01 \ln T + 33.74$$

and the vapor pressure of liquid NaF varies with temperature as

$$\ln P(atm) = \frac{-31090}{T} - 2.52 \ln T + 34.66$$

Calculate: (20)

a) The normal boiling temperature of NaF

b) The temperature and pressure at the triple point

c) The molar heat of evaporation of NaF at its normal boiling temperature

d) The molar heat of melting of NaF at the triple point

e) The difference between the *Cp* of liquid and solid NaF

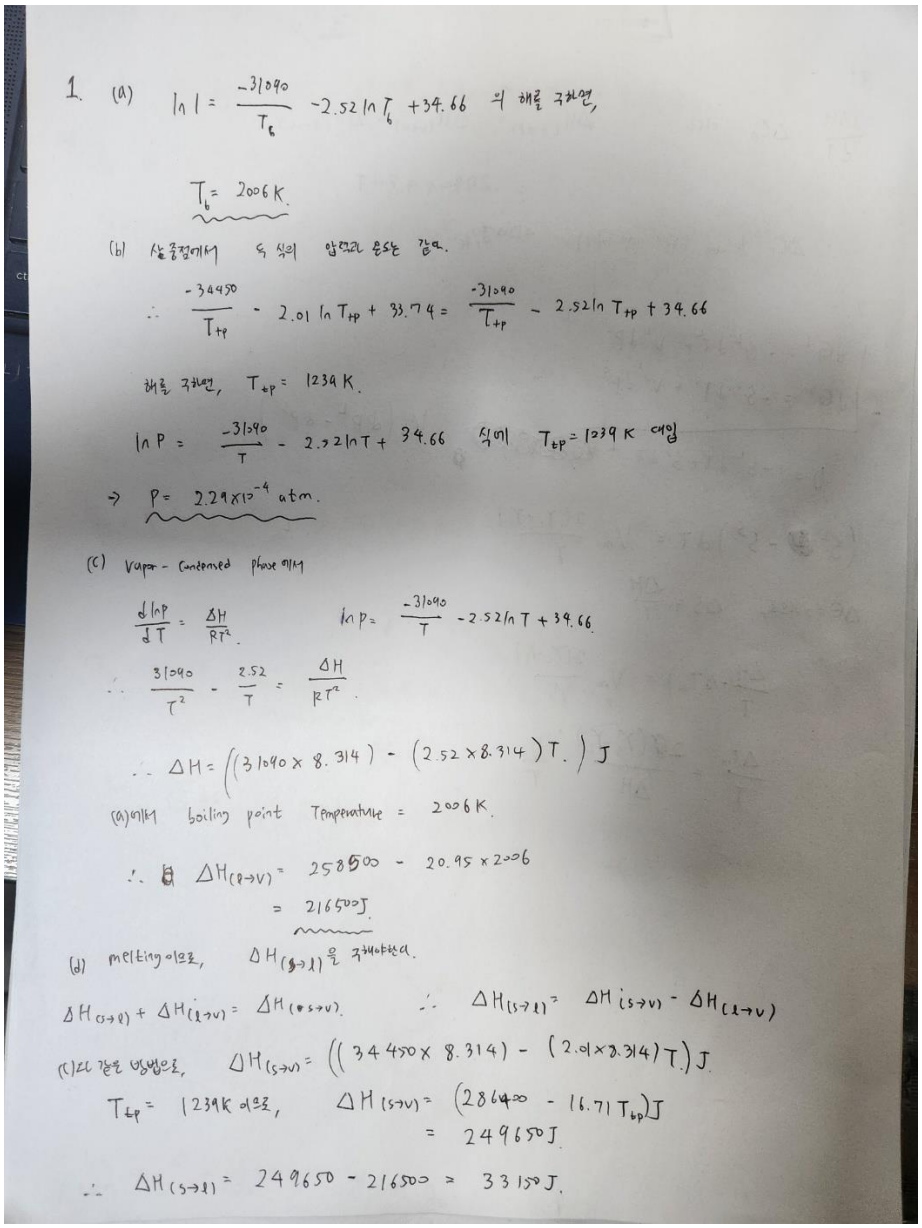

1. (a) $\ln 1 = \frac{-31090}{T_b} - 2.52 \ln T_b + 34.66$ 의 해를 구하면,

$T_b = 2006\,K$.

(b) 삼중점에서 두 식의 압력과 온도는 같다.

$$\therefore \frac{-34450}{T_{tp}} - 2.01 \ln T_{tp} + 33.74 = \frac{-31090}{T_{tp}} - 2.52 \ln T_{tp} + 34.66$$

해를 구하면, $T_{tp} = 1239\,K$.

$\ln P = \frac{-31090}{T} - 2.52 \ln T + 34.66$ 식에 $T_{tp} = 1239\,K$ 대입

$\Rightarrow P = 2.29 \times 10^{-4}\,atm$.

(c) Vapor - Condensed phase 이므로

$\frac{d \ln P}{dT} = \frac{\Delta H}{RT^2}$ $\quad \ln P = \frac{-31090}{T} - 2.52 \ln T + 34.66$

$\therefore \frac{31090}{T^2} - \frac{2.52}{T} = \frac{\Delta H}{RT^2}$

$\therefore \Delta H = \left((31090 \times 8.314) - (2.52 \times 8.314) T \right) J$

(a)에서 boiling point Temperature = 2006 K.

$\therefore \Delta H_{(g \to v)} = 25850 - 20.95 \times 2006$

$= 21650\,J$.

(d) melting 이므로, $\Delta H_{(s \to l)}$ 을 구해야한다.

$\Delta H_{(s \to l)} + \Delta H_{(l \to v)} = \Delta H_{(s \to v)}$ $\quad \therefore \Delta H_{(s \to l)} = \Delta H_{(s \to v)} - \Delta H_{(l \to v)}$

(c)와 같은 방법으로, $\Delta H_{(s \to v)} = \left((34450 \times 8.314) - (2.01 \times 8.314) T \right) J$

$T_{tp} = 1239\,K$ 이므로, $\Delta H_{(s \to v)} = (286400 - 16.71 T_{tp}) J$

$= 249650\,J$.

$\therefore \Delta H_{(s \to l)} = 249650 - 21650 = 33150\,J$.

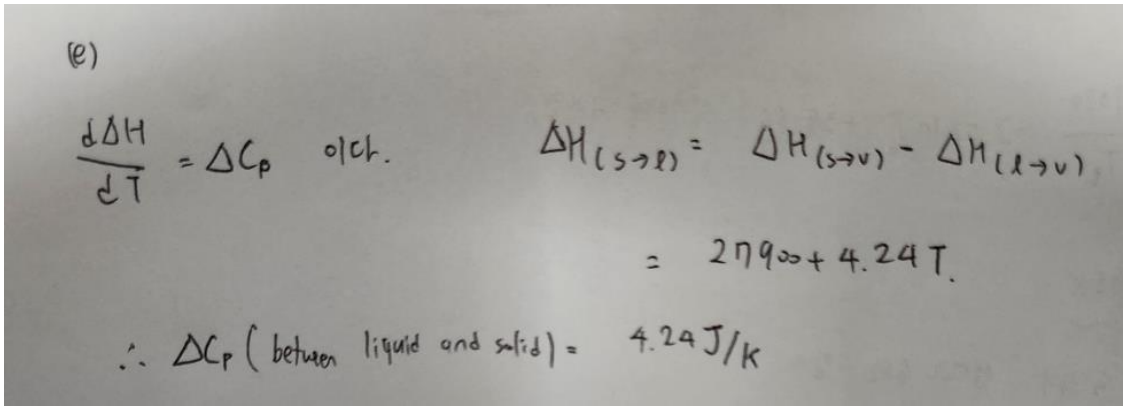

2. 반경이 r 인 spherical particle 은 표면 효과로 인해 다음 식만큼 압력을 받게 된다. (capillary pressure)

$$P = \frac{2\gamma}{r}$$

여기서 γ는 표면에너지를 의미한다.

Nano particle이나 wire는 위 효과로 인해 melting point 등 thermodynamic property가 bulk 상태일 때와는 달라지게 되는데, spherical nano particle의 melting point 강하 정도가 다음의 식으로 표현될 수 있음을 유도하시오. (10)

$$\frac{\Delta T_m}{T_m} = \frac{(\gamma_S - \gamma_L)}{\Delta H_m} \cdot \frac{2}{r} V_m$$

T_m은 bulk 상태에서의 melting point임.

ΔT_m은 melting point가 낮아진 정도이며, 낮아졌을 때 (+)값을 가짐.

γ_S, γ_L는 각각 solid와 liquid의 표면에너지,

ΔH_m은 enthalpy of melting을 나타냄.

ΔH_m와 ΔS_m은 melting point 근처에서 constant라고 가정하며,

Solid 와 liquid 의 molar volume은 V_m으로 동일하다고 가정함.

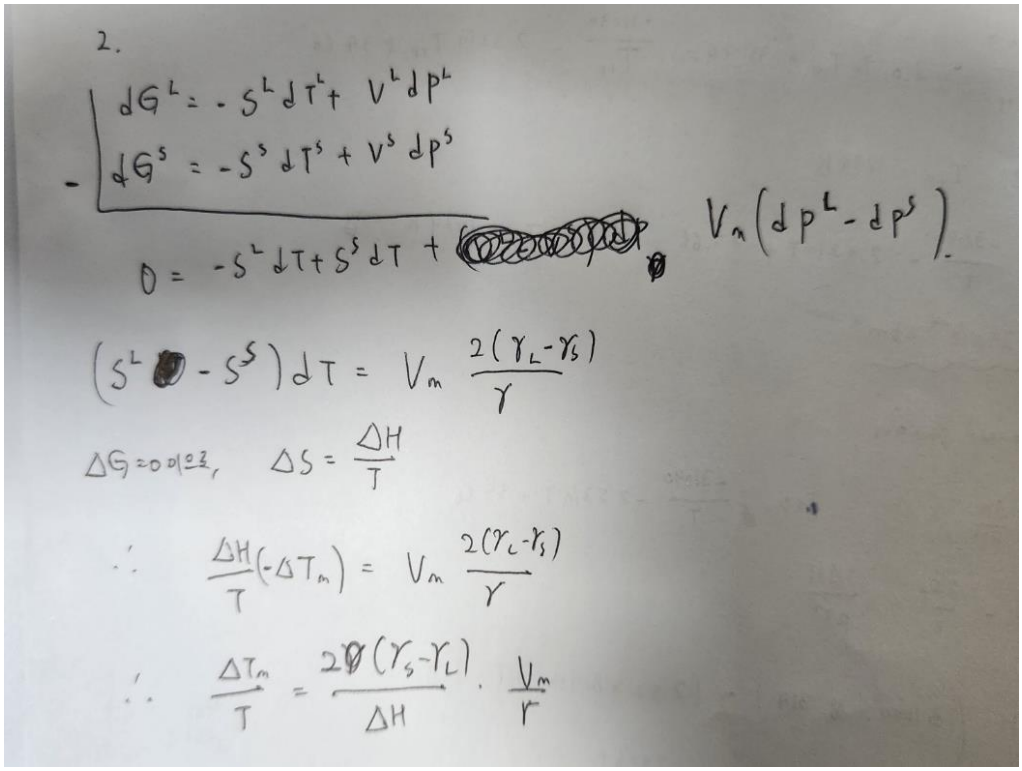

3. 다음은 subregular solution model을 이용하여 A-B 2원 용액의 molar Gibbs energy를 표현한 것이다. (20)

$$G_m = x_A{}^oG_A + x_B{}^oG_B + RT\{x_A \ln x_A + x_B \ln x_B\} + x_A x_B\{L_o + (x_A - x_B)L_1\}$$

a) 이 식으로부터 A, B 성분의 partial molar Gibbs energy 식을 유도하시오.

b) 위 subregular 용액 모델이, A, B 각 성분이 dilute 영역에서는 Henrian 거동을, rich 영역에서는 Raoultian 거동을 나타낸다는 실험적 사실을 재현해 냄을 보이시오.

c) 위 a)에서 유도한 A 성분의 partial molar Gibbs energy로부터 Gibbs-Duhem equation을 이용하여 B 성분의 partial molar Gibbs energy를 유도하시오.

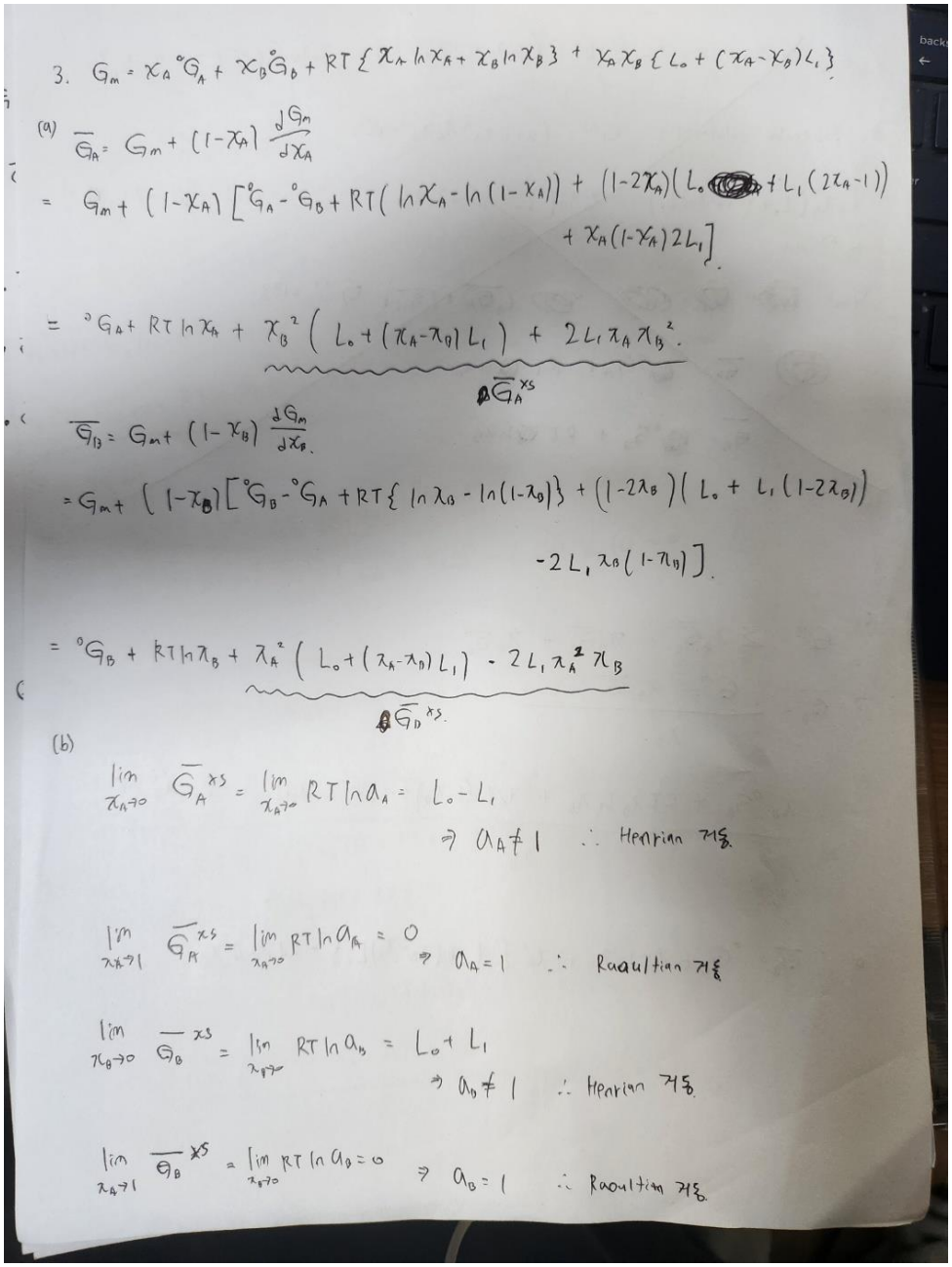

(c) $G^m = \sum_k \chi_k \overline{G_k} = \chi_A \overline{G_A} + \chi_B \overline{G_B}$

$\Rightarrow \overline{G_B} = \dfrac{G^m - \chi_A \overline{G_A}}{\chi_B}$

$= \dfrac{\chi_B {}^oG_B + RT\chi_B \ln \chi_B + \chi_A\chi_B(1-\chi_B)\{L_o + (\chi_A - \chi_B)L_1\} - 2L_1\chi_A^2\chi_B^2}{\chi_B}$

$\therefore \overline{G_B} = {}^oG_B + RT\ln\chi_B + \chi_A^2\{L_o + (\chi_A - \chi_B)L_1\} - 2L_1\chi_A^2\chi_B$

4. A-B 2 원계에서 α, β 두 solution phase 간의 평형 조성은 두 상의 Gibbs energy vs. composition curve 에 common tangent line (공통 접선)을 그어, 두 curve 와의 접점을 찾음으로써 결정할 수 있다. 그런데, Gibbs energy curve 는 그림에서처럼 각 원소의 reference state 에 따라 달리 그려질 수 있다. 정규 용액 모델을 사용하여 α, β 두 상 간의 상평형을 나타내는 조건 식을 작성하고, 각 원소에 대해 일관된 reference state 를 사용하는 한 상평형 조성은 reference state 에 관계없이 unique 하게 결정된다는 것을 보이시오. (10)

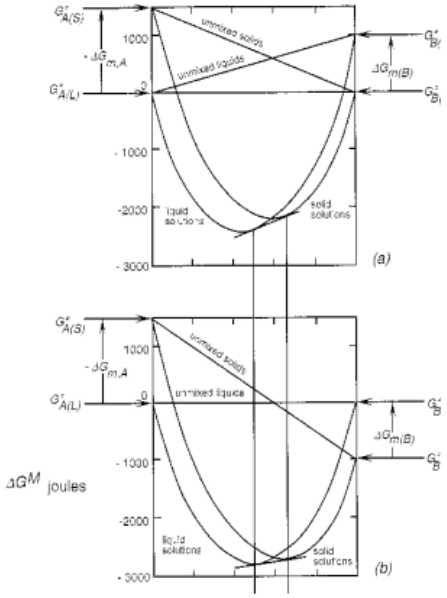

4.

① 두 상의 common tangent line 에서 $\overline{G_A}(L) = \overline{G_A}(S)$, $\overline{G_B}(L) = \overline{G_B}(S)$.

- $\overline{G_A}(L) = G_A^\circ(L) + RT\ln x_A(L) + RT\ln \gamma_A(L)$
  $= G_A^\circ(L) + RT\ln x_A(L) + L_{AB}(L)\cdot x_B(L)^2$
- $\overline{G_A}(S) = G_A^\circ(S) + RT\ln x_A(S) + L_{AB}(S)\cdot x_B(S)^2$.
- $\overline{G_B}(L) = G_B^\circ(L) + RT\ln x_B(L) + L_{AB}(L)\cdot x_A(L)^2$
- $\overline{G_B}(S) = G_B^\circ(S) + RT\ln x_B(S) + L_{AB}(S)\cdot x_A(S)^2$.

이 식에 의해,

$$\underbrace{G_A^\circ(S) - G_A^\circ(L)}_{-\Delta G_m(A)} + RT\ln\left(\frac{x_A(S)}{x_A(L)}\right) + L_{AB}(S)\cdot x_B(S)^2 - L_{AB}(L)\cdot x_B(L)^2 = 0$$

$$\underbrace{G_B^\circ(S) - G_B^\circ(L)}_{-\Delta G_m(B)} + RT\ln\left(\frac{x_B(S)}{x_B(L)}\right) + L_{AB}(S)\cdot x_A(S)^2 - L_{AB}(L)\cdot x_A(L)^2 = 0$$

ⓐ

② regular solution model에 대하여.

$$G_m(L) = x_A G_A^\circ(L) + x_B G_B^\circ(L) + RT(x_A\ln x_A + x_B\ln x_B) + x_A x_B L_{AB}(L)$$

$$G_m(S) = x_A G_A^\circ(S) + x_B G_B^\circ(S) + RT(x_A\ln x_A + x_B\ln x_B) + x_A x_B L_{AB}(S)$$

⇓ $x_A = 1 - x_B$ 이므로,

$$G_m(L) = (1-x_B)G_A^\circ(L) + x_B G_B^\circ(L) + RT\{(1-x_B)\ln(1-x_B) + x_B\ln x_B\} + (1-x_B)\cdot x_B\cdot L_{AB}(L)$$

$$G_m(S) = (1-x_B)G_A^\circ(S) + x_B G_B^\circ(S) + RT\{(1-x_B)\ln(1-x_B) + x_B\ln x_B\} + (1-x_B)x_B L_{AB}(S)$$

둘을 x_B에 대해 미분.

$$-G_A^\circ(L) + G_B^\circ(L) + RT(-\ln(1-x_B) + \ln x_B) + (1-2x_B)L_{AB}(L) = 0$$

$$-G_A^\circ(S) + G_B^\circ(S) + RT(-\ln(1-x_B) + \ln x_B) + (1-2x_B)L_{AB}(S) = 0$$

두 식을 뺀다.

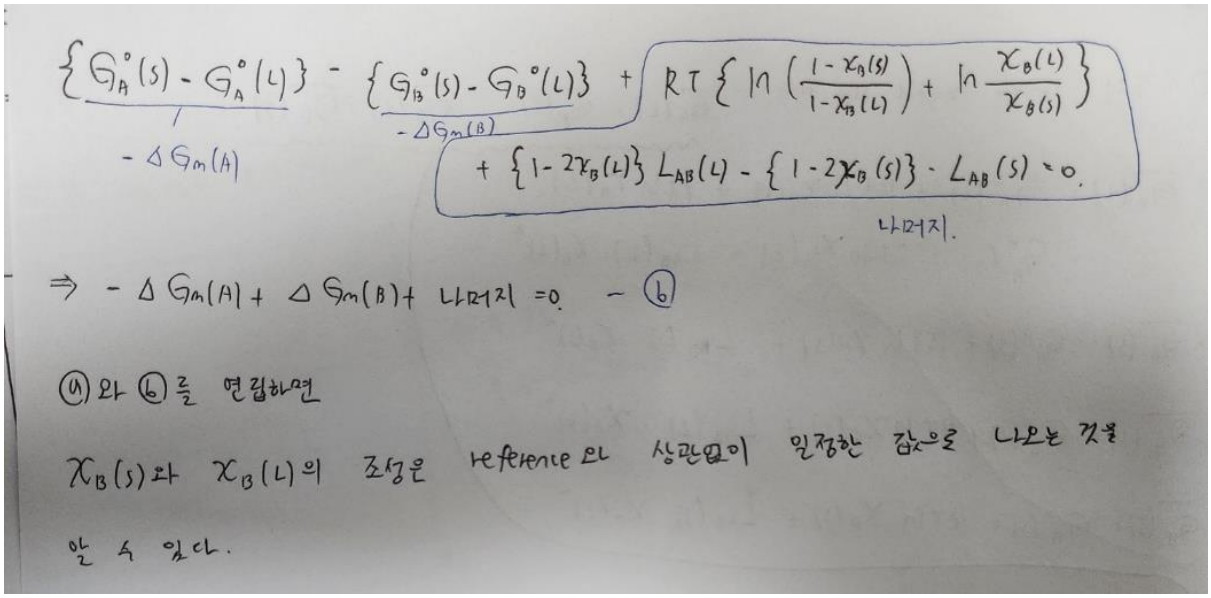

5. 1273 K, A-B 2 원계 한 고용상에서 성분 B 의 조성에 따른 activity (wrt. solid B)가 다음과 같이 측정되었다. 이 고용상의 열역학 특성을 가장 잘 나타내는 모델을 찾고 (ideal, regular, sub-regular model), 성분 B 의 activity 와 molar Gibbs energy of mixing 을 analytic 한 수식으로 표현하시오. 또, 모델 수식으로 계산한 각 조성에서의 activity 값과 실험 측정된 activity 값을 비교하여 모델의 우수성을 보이시오. (20)

x_B	a_B
0.10	0.0320
0.20	0.0800
0.30	0.1498
0.40	0.2400
0.50	0.3510
0.60	0.4782
0.70	0.6162
0.80	0.7559
0.90	0.8874
1.00	1.0000

5.

$a_i = \frac{P_i}{P_i^\circ}$

위 그림의 x_B, a_B 로 plot 하였을 때,

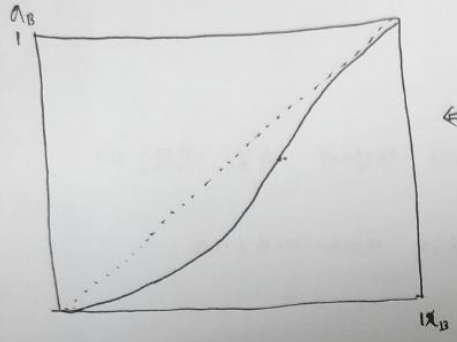

⇐ 두 경향이 전형적 non-ideal 임을 알 수 있다.
(끌어당김이 좋은 형태.)

$$\begin{cases} a_A = r_A x_A \\ a_B = r_B x_B \end{cases}$$

- $G_m = x_A{}^\circ G_A + x_B{}^\circ G_B + RT(x_A \ln a_A + x_B \ln a_B)$.
  $= x_A{}^\circ G_A + x_B{}^\circ G_B + RT(x_A \ln x_A + x_B \ln x_B) + x_A x_B L_{AB}$
- $x_A x_B L_{AB} = RT(x_A \ln \gamma_A + x_B \ln \gamma_B)$.

$\Rightarrow x_A x_B \Omega_{AB} = RT(x_A \ln \gamma_A + x_B \ln \gamma_B)$.

$RT \ln \gamma_A = \Omega_{AB} \cdot x_B^2$ (by hildebrand).

$\therefore x_A x_B \Omega_{AB} = x_A x_B^2 \Omega_{AB} + RT x_A \ln \gamma_B$.

$\Rightarrow x_A \Omega_{AB}(1-x_B) = RT \ln \gamma_B$.

$\therefore \Omega_{AB} = \frac{RT \ln \gamma_B}{(1-x_B)^2}$.

$\gamma_B = \frac{a_B}{x_B}$ 이고, 표의 x_B, a_B 로 대입하면,

x_B	a_B	γ_B	Ω_{AB}
0.1	0.032	0.32	-14888
0.2	0.08	0.4	-15153
0.3	0.1498	0.5	-15000
0.4	0.24	0.6	-15018
0.5	0.351	0.702	-14999
0.6	0.4782	0.797	-15009
0.7	0.6162	0.8803	-14995
0.8	0.7559	0.945	-15003
0.9	0.8874	0.986	-14929
1	1	1	

x_B에 따른 $\Omega_{AB} \fallingdotseq -15000$으로 거의 일정

$\therefore$ regular solution.

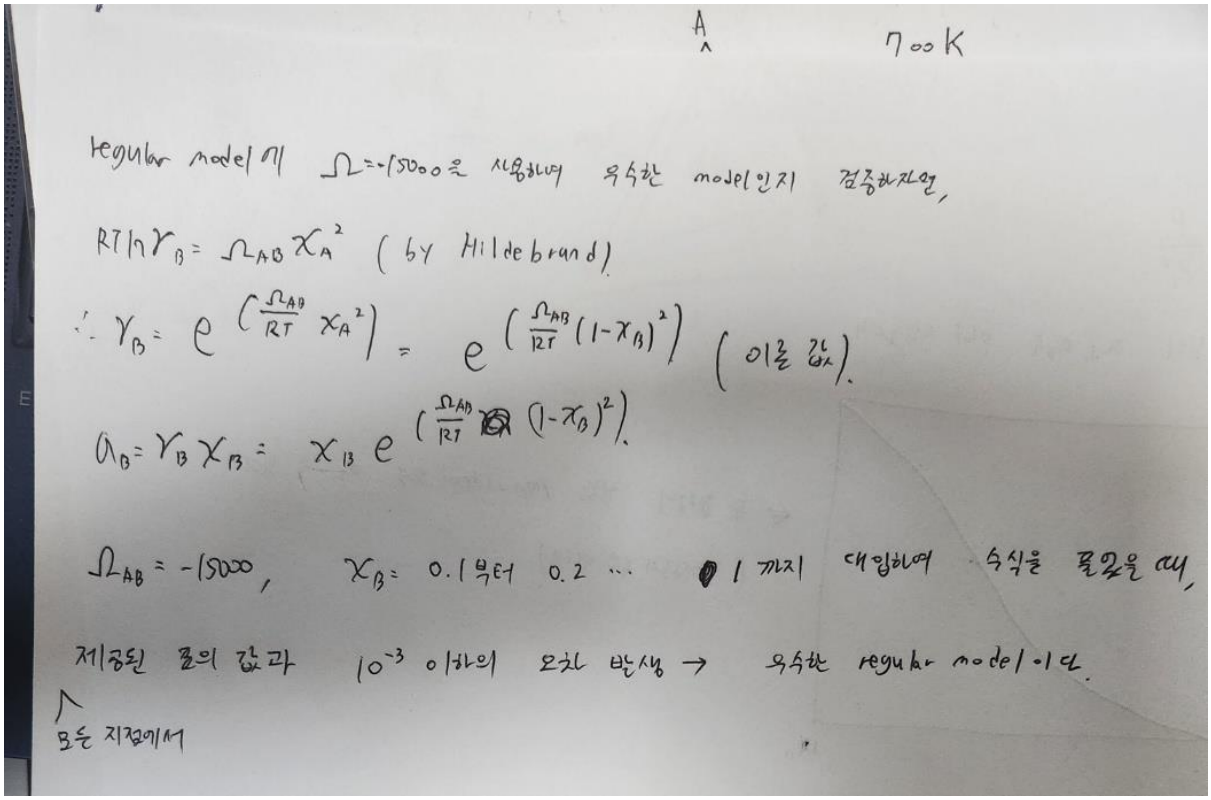

6. The followings are binary phase diagrams among three elements A, B, C, with melting point of 1000, 1200 and 800K, respectively. Based on binary phase diagrams, sketch isothermal sections of the A-B-C ternary phase diagram at 900, 700 and 400K. (20)

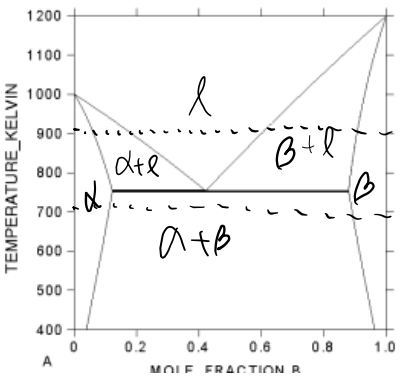

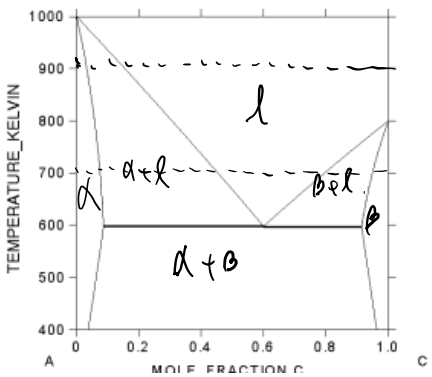

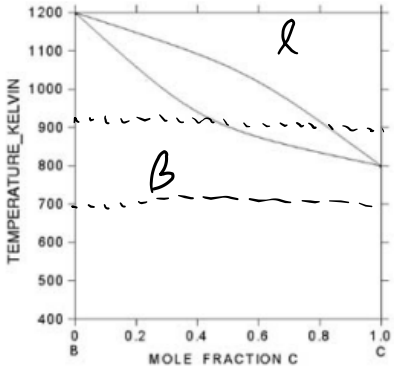

6.

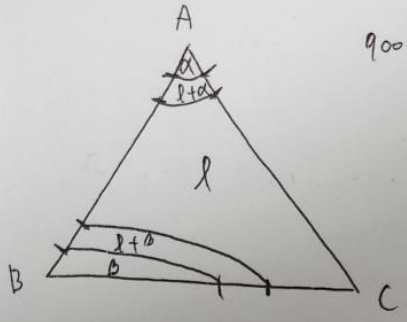

900K.

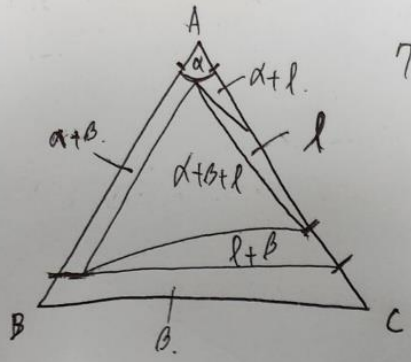

700K.

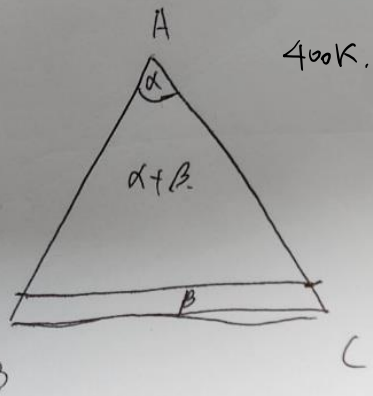

400K.